

Prostup tepla mezi tekutinami A a B oddelenými kulovou stěnou lze vyjádřit analogicky.

### 17.3 Rozdelení teplot ve výměnících tepla

Rozdelení teplot proudů tekutin, mezi nimiž dochází ve výměníku ke sdílení tepla, závisí především na vzájemném uspořádání proudů, na tom, zda dochází, nebo nedochází ve výměníku ke změně skupenství, a na fyzikálních vlastnostech zúčastněných látek.

Ukažme si nyní na obr. 17.5 rozložení teplot tekutin  $t$  podél svazkového výměníku o celkové délce  $L$ . Konce výměníků označujeme indexy 1 a 2, místa vstupu a výstupu tekutin indexy i a e pro nejběžnější případy.

Obr. 17.5a znázorňuje rozložení teplot, když tekutina A kondenzuje, B vře. Je vidět, že při kondenzaci nasycené páry na jedné straně přepážky a varu kapaliny na druhé straně přepážky jsou teploty  $t_A$  a  $t_B$ , a tím i rozdíl teplot ( $t_A - t_B$ ) podél výměníku konstantní. Rozdelení teplot v tomto případě nezávisí na uspořádání proudů.

Obr. 17.5b, c ukazuje případy, kdy u jedné z tekutin probíhá fázová přeměna (kondenzace nebo var). Rozdelení teplot je potom stejné u souprudu i protiproudů, neboť tekutina s fázovou přeměnou má podél výměníku konstantní teplotu.

Obr. 17.5d znázorňuje rozdelení teplot při souproudu. Teploty  $t_A$  a  $t_B$  se k sobě asymptoticky blíží. Platí-li  $t_{Ai} > t_{Bi}$ , pak u výměníku s konečnou délkou  $L$  platí  $t_{Ae} > t_{Be}$ ; souproud je výhodný, potřebujeme-li rychlé změny teplot, např. pro rychlé přerušení průběhu chemické reakce.

Na obr. 17.5e je ukázán protiproud tekutin, kde při  $t_{Ai} > t_{Bi}$  může být dosaženo  $t_{Be} > t_{Ae}$ , tj. tekutina B se může ohřát na vyšší teplotu, než je výstupní teplota tekutiny A. Protiproud je výhodný pro minimální spotřebu ohřívací nebo chladicí tekutiny.

Obr. 17.5f ukazuje smíšené proudění s jedním chodem tekutiny A a s dvěma chody tekutiny B. Tento výměník má konstrukční výhody. Existují různé varianty vícechodých výměníků tepla. Na obr. 17.5g je ukázáno rozdelení teplot při křížovém proudění tekutiny B vůči trubkám s tekutinou A. Používá se tehdy, když je objemový tok tekutiny vně trubek mnohem větší než objemový tok tekutiny v trubkách (zahřívání a chlazení plynů).

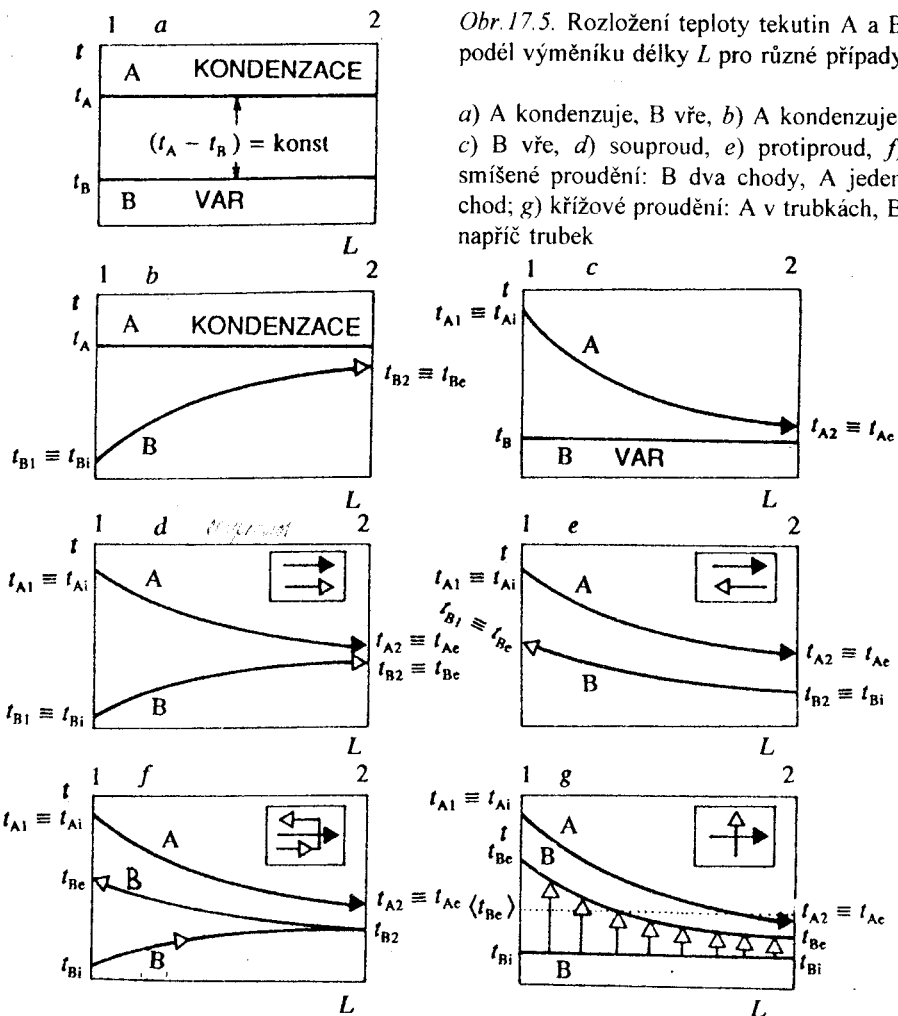
Obecně je místní rozdíl ( $t_A - t_B$ ), tj. místní hybná síla prostupu tepla, funkcí vzdálenosti od počátku výměníku. Pouze v případě podle obr. 17.5a platí:

$$t_A - t_B \equiv \Delta t = \text{konst} \quad (17-10)$$

a rov.(17-6) a (17-8) po integraci poskytnou

$$\dot{Q} = k\Delta t A \quad \dot{Q} = k_L \Delta t L \quad (17-11), (17-12)$$

V ostatních případech je integrace složitější, což je řešeno v odd. 17.4.



Obr. 17.5. Rozložení teploty tekutin A a B podél výměníku délky  $L$  pro různé případy

a) A kondenzuje, B vře, b) A kondenzuje,  
c) B vře, d) souproud, e) protiproud, f)  
smíšené proudění: B dva chody, A jeden  
chod; g) křížové proudění: A v trubkách, B  
napříč trubkou

## 17.4 Výpočet parametrů výměníku tepla při ustáleném stavu

Pod pojmem *parametry výměníku tepla* ménime zejména teplosměnnou plochu  $A$  (rovná stěna) nebo délku  $L$  (válcová trubka), teploty tekutin na výstupu z výměníku, hmotnostní toku tekutin, případně průměry trubek. Přitom předpokládáme znalost fyzikálních vlastností obou tekutin a stěny oddělující obě tekutiny, jakož i geometrii systému.

Z fyzikálních vlastností tekutiny vypočteme podle zásad vysvětlených v kap. 16 součinitele přestupu tepla na straně tekutin A a B, tj. hodnoty  $\alpha_A$  a  $\alpha_B$ . Z těchto hodnot a z údajů o vlastnostech přepážky oddělující tekutiny A a B vypočítáme z rov.(17-5) nebo (17-9) koeficient prostupu tepla  $k$  nebo  $k_L$ .

Pokud se podél výměníku mění hodnota koeficientů přestupu tepla, může se měnit i hodnota koeficientu prostupu tepla. Obvykle postačuje uskutečnění výpočtu hodnot součinitelů přestupu tepla pomocí fyzikálních vlastností tekutin při aritmetické střední teplotě příslušných proudů:

$$t_A \equiv \frac{t_{A1} + t_{A2}}{2}, \quad t_B \equiv \frac{t_{B1} + t_{B2}}{2}$$

Vypočtený koeficient prostupu tepla při středních teplotách  $t_A$  a  $t_B$  potom považujeme za konstantu a integrace rov.(17-6) nebo (17-8) se proto uskutečňuje podle vzorce

$$\dot{Q} = k \int_{\Delta t_1}^{\Delta t_2} \Delta t \, dA \quad [\text{DESKA}] \quad (17-13)$$

nebo

$$\dot{Q} = k_i \int_{\Delta t_1}^{\Delta t_2} \Delta t \, dA \quad [\text{VÁLEC}] \quad (17-14)$$

kde  $\Delta t \equiv t_A - t_B$  představuje místní hybnou sílu prostupu tepla a indexy 1, 2 značí jeden nebo druhý konec výměníku.

Ve výjimečných případech (velké změny teploty, prudká změna fyzikálních veličin s teplotou) musíme přihlížet k proměnlivosti součinitele prostupu tepla podél výměníku. V tomto případě se integrace rovnic (17-6) a (17-8) uskutečňují podle vzorců

$$\dot{Q} = \int_{\Delta t_1}^{\Delta t_2} k \Delta t \, dA \quad [\text{DESKA}] \quad (17-15)$$

a

$$\dot{Q} = \int_{\Delta t_1}^{\Delta t_2} k_i \Delta t \, dA \quad [\text{VÁLEC}] \quad (17-16)$$

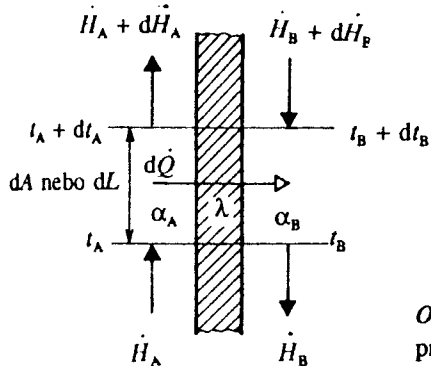
Výpočty jsou potom složitější. Zde je neuvádíme a odkazujeme na *Příklady* (kap. 10).

#### 17.4.1 Protiproud

Nejprve ukážeme postup výpočtu na případu *prostupu tepla rovinou stěnou bez fázové preměny* a při *protiproud*, což je jednoduchý a nejčastější případ v praxi. Odvození vztahů pro válcovou trubku je analogické.

Budeme uvažovat průběh teplot podél plochy tepelné výměny  $A$  (resp. jako funkci

délky  $L$ ), daný obr. 17.5e. Zde  $(t_A - t_B) > 0$  a teploty ve směru proudění tekutiny A klesají.



Obr.17.6. Diferenciální úsek protiproudého výměníku tepla pro bilanci toku entalpie  $\dot{H}_A$  a  $\dot{H}_B$  tekutin A a B

Na obr. 17.6 je vyznačen diferenciální úsek výměníku, kterým je u rovinné stěny vymezena teplosměnná plocha  $dA$  nebo u válcové trubky délka  $dL$ . Ze zavedených symbolů je zřejmé, že bilance toku entalpie  $\dot{H}$  zvlášť pro tekutinu A a zvlášť pro tekutinu B bude:

$$\dot{H}_A = d\dot{Q} + \dot{H}_A + d\dot{H}_A \quad \dot{H}_B + d\dot{H}_B + d\dot{Q} = \dot{H}_B$$

Po úpravě dostaneme

$$-d\dot{Q} = d\dot{H}_A \quad -d\dot{Q} = d\dot{H}_B$$

Entalpický tok  $\dot{H}$  nesený hmotným proudem o hmotnostním toku  $\dot{m}$ , majícím měrnou tepelnou kapacitu  $c_p$  a teplotu  $t$ , je

$$\dot{H} = \dot{m} c_p t$$

Proto bilance toku entalpie obou tekutin v diferenciálním úseku uvažovaného výměníku o ploše  $dA$  nebo délce  $dL$  bude

$$-\dot{dQ} = \dot{m}_A c_{pA} dt_A \quad -\dot{dQ} = \dot{m}_B c_{pB} dt_B \quad (17-17, 18)$$

Spojení obou rovnic poskytne

$$d\dot{Q} \left( \frac{1}{\dot{m}_B c_{pB}} - \frac{1}{\dot{m}_A c_{pA}} \right) = dt_A - dt_B \equiv d(t_A - t_B) \equiv d\Delta t \quad (17-19)$$

Pomocí rovnice prostupu tepla

$$d\dot{Q} = k\Delta t dA \quad [\text{DESKA}] \quad (17-6)$$

eliminujeme z rov.(17-19) veličinu  $d\dot{Q}$ :

$$d(\ln \Delta t) \equiv \frac{d\Delta t}{\Delta t} = \left( \frac{\dot{m}_A c_{pA}}{\dot{m}_B c_{pB}} - 1 \right) \frac{k dA}{\dot{m}_A c_{pA}} \quad (17-20) *$$

Tuto rovnici integrujeme pro  $k = \text{konst}$  v mezích:

$$A = 0; \Delta t = \Delta t_1 = t_{A1} - t_{B1} = t_{Ai} - t_{Be}$$

$$A = A; \Delta t = \Delta t_2 = t_{A2} - t_{B2} = t_{Ae} - t_{Bi}$$

Dostaneme

$$\ln \frac{\Delta t_2}{\Delta t_1} = \frac{k A}{\dot{m}_A c_{pA}} \left( \frac{\dot{m}_A c_{pA}}{\dot{m}_B c_{pB}} - 1 \right) \quad (17-21)$$

resp.

$$\frac{\Delta t_2}{\Delta t_1} = \exp \left[ \frac{k A}{\dot{m}_A c_{pA}} \left( \frac{\dot{m}_A c_{pA}}{\dot{m}_B c_{pB}} - 1 \right) \right] \quad (17-21a)$$

nebo

$$\frac{\Delta t_1}{\Delta t_2} = \exp \left[ \frac{k A}{\dot{m}_A c_{pA}} \left( 1 - \frac{\dot{m}_A c_{pA}}{\dot{m}_B c_{pB}} \right) \right] \quad (17-21b)$$

Rov.(17-21, 21a, 21b) mohou být zjednodušeny zavedením těchto tří bezrozměrových veličin:

1. Počet převodových jednotek pro tekutinu A v případě rovinné stěny je dán vztahem

$$N_A \equiv \frac{k A}{\dot{m}_A c_{pA}} \quad [\text{DESKA}] \quad (17-22a)$$

Obdobně pro válcové trubky zavedeme

$$N_A \equiv \frac{k_L L}{\dot{m}_A c_{pA}} \quad [\text{VÁLEC}] \quad (17-22b)$$

---

<sup>\*)</sup> První výraz v rov.(17-20) plyne z tohoto obecného vztahu ( $y$  - proměnná,  $C$  - konstanta)

$$d \int \frac{dy}{y} = d(\ln y + C) = d(\ln y)$$

Pro tekutinu B platí

$$N_B \equiv \frac{k A}{\dot{m}_B c_{pB}} \quad [\text{DESKA}] \quad (17-22c)$$

$$N_B \equiv \frac{k_L L}{\dot{m}_B c_{pB}} \quad [\text{VÁLEC}] \quad (17-22d)$$

Plochu nebo délku pro případ  $N_A = 1$ , tj. jedné převodové jednotky, označíme  $A_A$  nebo  $L_A$ . Potom z rov.(17-22a) a (17-22b) plyne

$$A_A = \dot{m}_A c_{pA} / k \quad [\text{DESKA}] \quad (17-23a)$$

$$L_A = \dot{m}_A c_{pA} / k_L \quad [\text{VÁLEC}] \quad (17-23b)$$

Počet převodových jednotek lze proto též vyjádřit jako poměr plochy  $A$  (nebo délky  $L$ ) a plochy jedné převodové jednotky  $A_A$  (nebo délky  $L_A$ ):

$$N_A = \frac{A}{A_A} = \frac{L}{L_A} \quad (17-24)$$

Obdobné rovnice lze zavést pro vyjádření počtu převodových jednotek tekutiny B, tj.  $N_B$ . Počet převodových jednotek podle rov.(17-24) je uplatněn v *Příkladech* (kap. 12) a ve skriptu [10].

2. *Faktor výměníku* pro tekutinu A vůči tekutině B je dán poměrem toků tepelných kapacit tekutiny A a B:

$$\zeta_{AB} \equiv \frac{\dot{m}_A c_{pA}}{\dot{m}_B c_{pB}} \quad (17-25)$$

Faktor výměníku pro tekutinu B vůči tekutině A je dán rovnicí

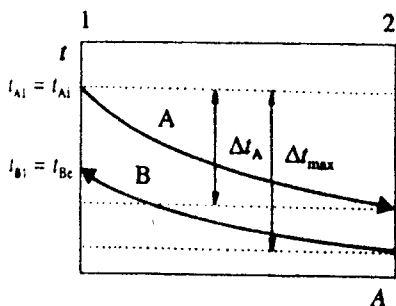
$$\zeta_{BA} \equiv \frac{\dot{m}_B c_{pB}}{\dot{m}_A c_{pA}} = 1/\zeta_{AB} \quad (17-25a)$$

Z bilance toku entalpie podél celého výměníku pro tekutiny A a B

$$\dot{m}_A c_{pA} (t_{A1} - t_{A2}) = \dot{m}_B c_{pB} (t_{B1} - t_{B2}) \quad (17-26)$$

dostaneme další vyjádření faktoru výměníku, a to pomocí teplotních diferencí:

$$\zeta_{AB} \equiv \frac{\dot{m}_A c_{pA}}{\dot{m}_B c_{pB}} = \frac{t_{B1} - t_{B2}}{t_{A1} - t_{A2}} \quad [\text{PROTIPROUD}] \quad (17-27)$$



Obr.17.7. K definici účinku protiproudého výměníku tepla  $\eta_A$

3. Účinek výměníku pro tekutinu A definujeme (obr. 17.7) jako poměr teplotní změny tekutiny A podél výměníku  $\Delta t_A \equiv (t_{A1} - t_{A2})$  k maximálnímu rozpětí teplot tekutin A a B ve výměníku \*)  $\Delta t_{\max} = t_{A1} - t_{B2}$ :

$$\eta_A \equiv \frac{\Delta t_A}{\Delta t_{\max}} \equiv \frac{t_{A1} - t_{A2}}{t_{A1} - t_{B2}} \quad [\text{PROTIPOUD}] \quad (17-28)$$

Obdobně definujeme účinek výměníku pro tekutinu B. Snadno ukážeme, že platí relace

$$\eta_B = \zeta_{AB} \eta_A \quad (17-28a)$$

Bezrozměrová veličina  $\eta_A$  nebo  $\eta_B$  je výhodnější k praktickému použití než bezrozměrový poměr teplotních diferencí

$$\frac{\Delta t_2}{\Delta t_1} \equiv \frac{t_{A2} - t_{B2}}{t_{A1} - t_{B1}} \quad (17-29)$$

v rov.(17-21) a (17-21a) nebo převrácená hodnota  $(\Delta t_1 / \Delta t_2)$ , vyskytující se v rov.(17-21b). Často jsou totiž hledanými teplotami výstupní teploty obou tekutin, tj. teploty  $t_{A2} = t_{Ae}$  a  $t_{B1} = t_{Be}$ , které se obě vyskytují v poměru  $(\Delta t_2 / \Delta t_1)$ .

Naproti tomu je vidět z rov.(17-28) nebo (17-28a), že účinek  $\eta_A$  nebo  $\eta_B$  obsahuje z těchto neznámých teplot pouze jedinou, a to  $t_{A2}$  nebo  $t_{B1}$ .

Vztah mezi poměrem  $(\Delta t_1 / \Delta t_2)$  a účinkem  $\eta_A$  najdeme tímto postupem: Diferenci  $\Delta t_1$  rozšíříme přičtením člena  $(t_{B2} - t_{B2})$  a diferenci  $\Delta t_2$  přičtením  $(t_{A1} - t_{A1})$ . Dostaneme

$$\frac{\Delta t_1}{\Delta t_2} \equiv \frac{t_{A1} - t_{B1}}{t_{A2} - t_{B2}} = \frac{t_{A1} - t_{B1} + t_{B2} - t_{B2}}{t_{A2} - t_{B2} + t_{A1} - t_{A1}}$$

\*) Účinek  $\eta_A$  má fyzikální význam poměru skutečného tepelného toku  $\dot{Q}$  postupujícího od tekutiny A k tekutině B k maximálně možnému tepelnému toku  $\dot{Q}_{\max}$ , který by nastal, kdyby tekutina A dosáhla na výstupu z výměníku rovnovážné teploty  $t_{A2}'$  rovnající se vstupní teplotě tekutiny B, tj. hodnotě  $t_{B2}$ .

Čitatele i jmenovatele vydělíme maximálním rozsahem teplot ve výměníku ( $t_{A1} - t_{B2}$ ) a dostaneme po úpravě

$$\frac{\Delta t_1}{\Delta t_2} = \frac{1 - (t_{B1} - t_{B2}) / (t_{A1} - t_{B2})}{1 - (t_{A1} - t_{A2}) / (t_{A1} - t_{B2})} = \frac{1 - \eta_B}{1 - \eta_A}$$

Z rov.(17-28a) plyne

$$\frac{\Delta t_1}{\Delta t_2} = \frac{1 - \zeta_{AB} \eta_A}{1 - \eta_A} \quad (17-29)$$

Dosadíme-li nyní do rov.(17-21b) z rov.(17-22a), (17-25) a (17-30), dostaneme

$$\frac{1 - \zeta_{AB} \eta_A}{1 - \eta_A} = \exp [N_A (1 - \zeta_{AB})] \quad [\text{PROTIPROUD}] \quad (17-31)$$

Z rov.(17-31) lze vyjádřit explicitně buď počet převodových jednotek  $N_A$ , nebo účinek  $\eta_A$ :

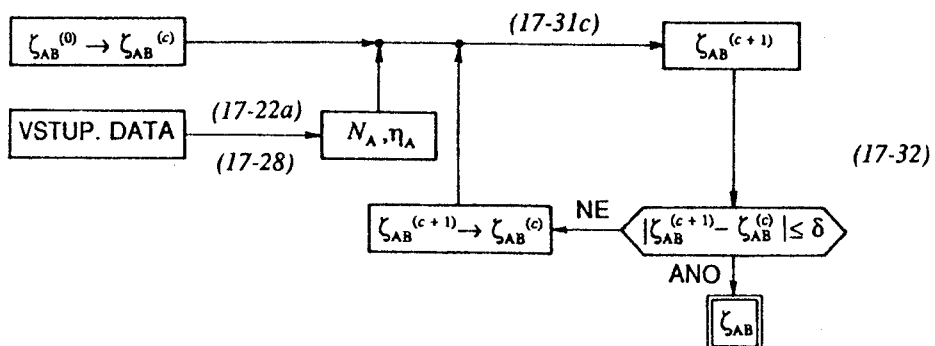
$$N_A = \frac{1}{1 - \zeta_{AB}} \ln \frac{1 - \zeta_{AB} \eta_A}{1 - \eta_A} \quad [\text{PROTIPROUD}] \quad (17-31a)$$

$$\eta_A = \frac{1 - \exp [-N_A (1 - \zeta_{AB})]}{1 - \zeta_{AB} \exp [-N_A (1 - \zeta_{AB})]} \quad [\text{PROTIPROUD}] \quad (17-31b)$$

Faktor výměníku  $\zeta_{AB}$  nelze z rov.(17-31) explicitně vyjádřit. Pokud je tedy předmětem výpočtu faktor výměníku, musíme užít iterační výpočet. Rov.(17-31a) upravíme např. do tvaru

$$\zeta_{AB} = 1 - \frac{1}{N_A} \ln \frac{1 - \zeta_{AB} \eta_A}{1 - \eta_A} \quad [\text{PROTIPROUD}] \quad (17-31c)$$

Nyní uplatníme dobře konvergující algoritmus výpočtu označený (17-32):



V algoritmu (17-32) značí horní indexy u  $\zeta_{AB}$ : (0) - počáteční odhad, (c) - vstupní hodnotu do iteračního cyklu, ( $c + 1$ ) - výstupní hodnotu z iteračního cyklu. Veličina  $\delta$  je předem zvolená maximálně přijatelná kladná odchylka (např.  $10^{-2}$ ).

Pro usnadnění výpočtů byly rov.(17-31b) a obdobné rovnice pro další případy (viz dále) převedeny do grafů typu

$$\eta_A = \eta_A(N_A; \zeta_{AB}) \quad (17-33)$$

kde  $\zeta_{AB}$  je parametrem. Přitom označení tekutin A a B je zvoleno tak, aby z důvodu jednoduššího grafického zobrazení vyšlo

$$\zeta_{AB} \in \langle 0 ; 1 \rangle$$

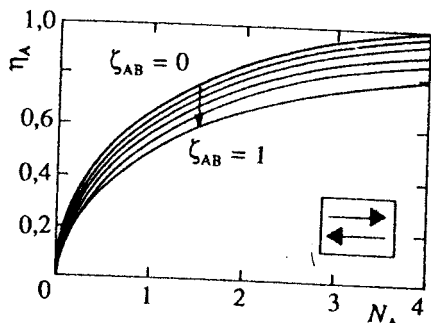
Z rov.(17-31b) je patrné, že při výpočtu účinku  $\eta_A$ , jestliže  $\zeta_{AB} = 1$  (v tomto případě  $\Delta t = \text{konst}$ ), dostáváme neurčitý výraz. Limitu účinku  $\eta_A$  pro  $\zeta_{AB} \rightarrow 1$  určíme v takovém případu pomocí de l' Hospitalova pravidla uplatněného na rov.(17-31b). Dostaneme

$$\eta_A = \frac{N_A}{1 + N_A} = \eta_B = \frac{N_B}{1 + N_B} \quad [\text{PROTIPROUD}, \zeta_{AB} \rightarrow 1] \quad (17-34)$$

Z rov.(17-34) snadno odvodíme, že pro  $\zeta_{AB} \rightarrow 1$  platí

$$N_A = \frac{t_{A1} - t_{A2}}{t_{A2} - t_{B2}} \quad [\text{PROTIPROUD}, \zeta_{AB} \rightarrow 1] \quad (17-35)$$

Zde uvedené grafy typu závislosti (17-33) slouží pouze k ilustraci. Na odečítání hodnot jsou určeny grafy v *Příkladech* (obr. 12-3 až 12-6), kde jsou také uvedeny další podrobnosti tohoto způsobu výpočtu. Grafické vyjádření vztahu (17-33) pro protiproud je ukázáno na obr. 17.8.



Obr. 17.8. Závislost účinku  $\eta_A$  na počtu převodových jednotek  $N_A$  a na faktoru výměníku  $\zeta_{AB}$  pro protiproud

Přesnější výpočet, který doporučujeme, je však numerický pomocí rov.(17-31a) nebo (17-31b) nebo (17-31c). V případě výpočtu faktoru výměníku  $\zeta_{AB}^{(0)}$  je graf na obr. 17.8 pomocí počtu převodových jednotek  $N_A$ , účinku  $\eta_A$  a faktoru výměníku  $\zeta_{AB}$  umožňuje výpočet

nejen koncových teplot, ale i plochy tepelné výměny nebo potřebného hmotnostního toku jedné tekutiny, aby došlo k žádané teplotní změně.

Z definice  $N_A$  rov.(17-22a) nebo (17-22b) plyne, že z vypočtené hodnoty  $N_A$  určíme bez problémů plochu tepelné výměny  $A$  nebo účinnou délku trubek  $L$ . Tyto veličiny se zpravidla zjišťují pro návrh nového zařízení.

Z definice  $\eta_A$  rov.(17-28) plyne, že z vypočtené hodnoty  $\eta_A$  pro daný výměník snadno určíme koncovou teplotu tekutiny A, tj.  $t_{A2}$ . Koncovou teplotu tekutiny B, tj.  $t_{B1}$ , vypočteme z bilance (17-26) nebo z rov.(17-27), která po úpravě poskytne

$$t_{B1} = \zeta_{AB} (t_{A1} - t_{A2}) + t_{B2} \quad (17-27a)$$

Z nalezené hodnoty  $t_{A2}$  též snadno určíme tepelný tok

$$\dot{Q} = \dot{m}_A c_{pA} (t_{A1} - t_{A2}) \quad (17-36)$$

Z definice faktoru  $\zeta_{AB}$  rov.(17-25) vidíme, že vypočtená hodnota  $\zeta_{AB}$  pro daný výměník umožňuje výpočet neznámého hmotnostního toku bud'  $\dot{m}_A$ , nebo  $\dot{m}_B$ .

Porovnáme-li rozměrovou rovnici (17-21b) s bezrozměrovou rovnicí (17-31), vidíme, že převedením rozměrových proměnných na bezrozměrové klesl výrazně jejich počet, a to na tři veličiny  $N_A$ ,  $\eta_A$ ,  $\zeta_{AB}$ . Tyto bezrozměrové proměnné jsou tedy podle kap. 6 kritéria a rov.(17-31) představuje *kriteriální rovnici*, popisující podobnost protiproudých výměníků tepla. \*)

#### 17.4.2 Souproud

Obdobný postup odvození jako pro protiproud uplatníme u souproudu. Průběh teplot podél délky  $L$  nebo plochy  $A$  souproudého výměníku tepla je ukázán na obr. 17.5d. Na rozdíl od protiproudou teplota jedné tekutiny podél výměníku klesá, druhá ve stejném směru stoupá. Místo rov.(17-17), (17-18) dostaneme pro diferenciální úsek souproudého výměníku (viz obr. 17.9) bilanční vztahy

$$d\dot{Q} = d\dot{H}_A = \dot{m}_A c_{pA} (-dt_A) \quad d\dot{Q} = d\dot{H}_B = \dot{m}_B c_{pB} dt_B \quad (17-37, 38)$$

Diferenciální tepelný tok je současně dán kinetickou rovnicí

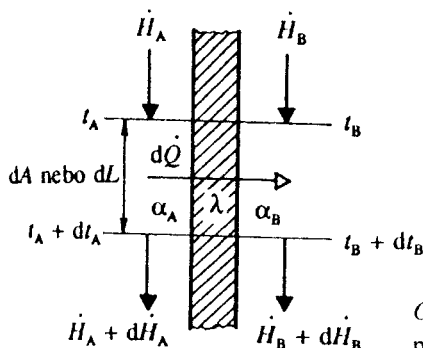
$$d\dot{Q} = k \Delta t \, dA \quad (17-6)$$

Spojením rov.(17-6), (17-37) a (17-38) dostaneme diferenciální rovnici:

---

\*) Na rozdíl od různých empirických kriteriálních rovnic nacházejících se např. v kap.16 (viz např. Dittusovu-Boelterovu rovnici), byla kriteriální rovnice (17-31) získána teoretickou cestou.

$$d(\ln \Delta t) = - \frac{k}{\dot{m}_A c_{pA}} \left( \frac{\dot{m}_A c_{pA}}{\dot{m}_B c_{pB}} + 1 \right) \quad (17-39)$$



Obr. 17.9. Diferenciální úsek souprudého výměníku tepla pro bilanci toků entalpie  $\dot{H}_A$  a  $\dot{H}_B$

Integrací podél celé teplosměnné plochy  $A$  dostaneme

$$\ln \frac{\Delta t_2}{\Delta t_1} = - \frac{k A}{\dot{m}_A c_{pA}} \left( \frac{\dot{m}_A c_{pA}}{\dot{m}_B c_{pB}} + 1 \right) \quad (17-40)$$

resp.

$$\frac{\Delta t_2}{\Delta t_1} = \exp \left[ \left( 1 + \frac{\dot{m}_A c_{pA}}{\dot{m}_B c_{pB}} \right) \frac{k A}{\dot{m}_A c_{pA}} \right] \quad (17-40a)$$

přičemž

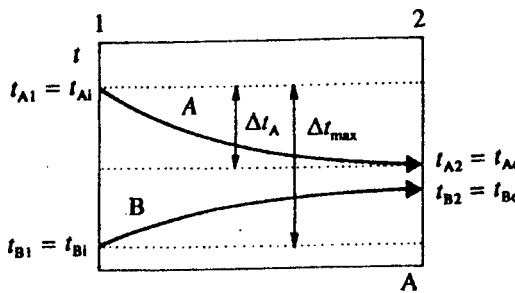
$$\Delta t_2 \equiv t_{A2} - t_{B2} \quad \Delta t_1 \equiv t_{A1} - t_{B1}$$

Stejně jako u protiproudou převedeme rov.(17-40) a (17-40a) z rozměrové formy do bezrozměrové zavedením bezrozměrových veličin  $N_A$ ,  $\zeta_{AB}$  a  $\eta_A$ . Počet převodových jednotek  $N_A$  a faktor výměníku  $\zeta_{AB}$  jsou definovány jako dříve pomocí rov.(17-22a) a (17-25). U faktoru výměníku  $\zeta_{AB}$  se však liší jeho teplotní vyjádření oproti rov.(17-27), neboť platí:

$$\zeta_{AB} \equiv \frac{\dot{m}_A c_{pA}}{\dot{m}_B c_{pB}} = \frac{t_{B2} - t_{B1}}{t_{A1} - t_{A2}} \quad [\text{SOUPROUD}] \quad (17-41)$$

Účinek výměníku  $\eta_A$  je opět definován jako poměr diference  $\Delta t_A$  a maximální diference  $\Delta t_{\max}$ . Z obr. 7.10 je zřejmé, že platí

$$\eta_A \equiv \frac{\Delta t_A}{\Delta t_{\max}} = \frac{t_{A1} - t_{A2}}{t_{A1} - t_{B1}} \quad [\text{SOUPROUD}] \quad (17-42)$$



Obr. 17.10. K definici účinku souproudého výměníku tepla

$\Delta t_A$  - změna teploty tekutiny A podél výměníku,  
 $\Delta t_{\max}$  - maximální rozdíl mezi teplotami tekutin A a B ve výměníku

Poměr teplotních diferencí ( $\Delta t_2 / \Delta t_1$ ) v rov.(17-40a) vyjádříme nyní pomocí účinku  $\eta_A$ . Současně eliminujeme z tohoto poměru teplotu  $t_{B2}$  pomocí rov.(17-41):

$$t_{B2} = \zeta_{AB} (t_{A1} - t_{A2}) + t_{B1} \quad (17-41a)$$

Postupně dostaneme

$$\frac{\Delta t_2}{\Delta t_1} = \frac{t_{A2} - t_{B2}}{t_{A1} - t_{B1}} = \frac{t_{A1} - t_{A1} + t_{A2} - \zeta_{AB} (t_{A1} - t_{A2}) - t_{B1}}{t_{A1} - t_{B1}} = \frac{(t_{A1} - t_{B1}) - (t_{A1} - t_{A2}) (1 + \zeta_{AB})}{t_{A1} - t_{B1}}$$

$$\frac{\Delta t_2}{\Delta t_1} = 1 - \eta_A (1 + \zeta_{AB}) \quad (17-43)$$

Spojením rov.(17-40a), (17-43), (17-22a) a (17-25) dostaneme

$$1 - \eta_A (1 + \zeta_{AB}) = \exp [-N_A (1 + \zeta_{AB})] \quad [\text{SOUPROUD}] \quad (17-44)$$

Z rov.(17-44) vyjádříme explicitně počet převodových jednotek  $N_A$  a účinek výměníku  $\eta_A$ :

$$N_A = \frac{-\ln [1 - \eta_A (1 + \zeta_{AB})]}{1 + \zeta_{AB}} \quad [\text{SOUPROUD}] \quad (17-44a)$$

$$\eta_A = \frac{1 - \exp [-N_A (1 + \zeta_{AB})]}{1 + \zeta_{AB}} \quad [\text{SOUPROUD}] \quad (17-44b)$$

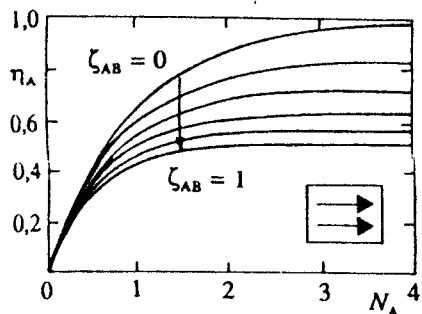
Tak jako u protiproudů je i pro souproud vytvořen na základě rov.(17-44b) graf typu (17-33) pro

$$\zeta_{AB} \in \langle 0 ; 1 \rangle$$

Graf ilustrující tuto závislost je na obr. 17.11. V Příkladech je tento graf pro souproud ve formě vhodné k odečítání. Pokud chceme počítat faktor výměníku numericky, musí být opět užito iterace. Algoritmus tohoto výpočtu neuvádíme, protože je analogický postupu, který jsme

uveďli u protiproudou.

Poznamenejme, že určité potíže mohou vzniknout při výpočtu účinku  $\eta_A$  na základě známé hodnoty  $N_A$ . Pokud dochází ve výměníku ke značné teplotní změně některé z tekutin, musíme při výpočtu faktoru výměníku  $\zeta_{AB}$  napřed odhadnout teplotní změnu, abychom mohli určit měrnou tepelnou kapacitu dané tekutiny při aritmetické střední teplotě. Po upřesnění této teploty z vypočteného účinku  $\eta_A$  určíme novou střední teplotu a novou hodnotu faktoru výměníku, tj. výpočet opakujeme. Obyčejně postačují dvě iterace.



Obr.17.11. Závislost účinku  $\eta_A$  na počtu převodových jednotek  $N_A$  a na faktoru výměníku  $\zeta_{AB}$  pro souproud

#### 17.4.3 Fázová přeměna

Jestliže u jedné tekutiny dochází k fázové přeměně (kondenzace nebo var), předpokládáme, že teplota této tekutiny se podél výměníku nemění. V tomto případě *není rozdíl mezi souprudem a protiproudem* (viz obr. 17.5b, c).

Předpokládejme, že fázová přeměna se týká tekutiny B. Entalpicke bilance pro celý protiproudý výměník poskytla rov.(17-27):

$$\zeta_{AB} \equiv \frac{\dot{m}_A C_{pA}}{\dot{m}_B C_{pB}} = \frac{t_{B1} - t_{B2}}{t_{A1} - t_{A2}} \quad (17-27)$$

Protože při fázové přeměně tekutiny B

$$t_{B1} = t_{B2} = t_B \quad [\text{FÁZOVÁ PŘEMĚNA B}]$$

má faktor výměníku hodnotu

$$\zeta_{AB} = 0 \quad [\text{FÁZOVÁ PŘEMĚNA B}] \quad (17-45)$$

Jak z rov.(17-21) pro protiproud, tak i z rov.(17-40) pro souproud dostáváme

$$\ln \frac{\Delta t_2}{\Delta t_1} = -N_A \quad [\zeta_{AB} = 0, \text{ FÁZOVÁ PŘEMĚNA B}] \quad (17-46)$$

Rov.(17-46) upravíme zavedením účinku

$$\eta_A = \frac{t_{A1} - t_{A2}}{t_{A1} - t_B}$$

[FÁZOVÁ PŘEMĚNA B]

(17-47)

Dostaneme \*)

$$N_A = -\ln(1 - \eta_A)$$

[FÁZOVÁ PŘEMĚNA B]

(17-48a)

resp.

$$\eta_A = 1 - \exp(-N_A)$$

[FÁZOVÁ PŘEMĚNA B]

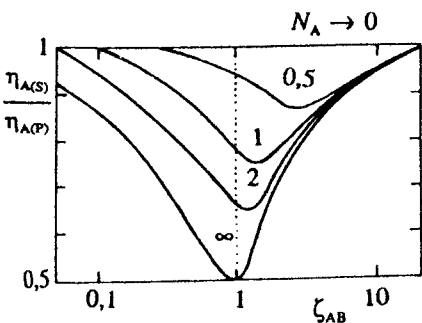
(17-48b)

Formálně stejné vztahy odvodíme, jestliže fázové přeměny podléhá tekutina A (tj.  $\zeta_{BA} = 0$ ), avšak zapsané pro tekutinu B pomocí veličin  $N_B$  a  $\eta_B$ .

Literatura uvádí vztahy a grafy typu (17-33) pro další případy uspořádání proudů. Např. v *Příkladech* jsou tyto grafy pro křízoproudé a vícechodé výměníky tepla (kap. 12).

#### 17.4.4 Porovnání souproudého a protiproudého výměníku tepla

Zajímavé porovnání souproudého a protiproudého výměníku tepla dostaneme ve formě podílu účinku  $\eta_A$  pro souproud podle rov.(17-44b) a pro protiproud podle rov.(17-31b), při týchž hodnotách  $N_A$  a  $\zeta_{AB}$ , tj. např. při týchž hodnotách plochy tepelné výměny  $A$ , koeficientu  $k$ , hmotnostních toků  $\dot{m}_A$  a  $\dot{m}_B$ . Podíl obou účinků označíme  $\eta_{A(S)} / \eta_{A(P)}$ . Obr. 17.12 ukazuje závislost tohoto podílu na hodnotách  $N_A$  a  $\zeta_{AB}$ . Pro úspornost a přehlednost grafu je stupnice  $\zeta_{AB}$  na obr. 17.12 logaritmická.



Obr. 17.12. Závislost poměru účinků  $\eta_{A(S)} / \eta_{A(P)}$  pro souproud (S) a protiproud (P) na faktoru výměníku  $\zeta_{AB}$  a počtu převodových jednotek  $N_A$

Z obr. 17.12 je patrné, že u výměníků bez fázové přeměny je kromě případů technicky nezájimavých [součinitel prostupu tepla  $k$  blízký k nule, nízká hodnota plochy tepelné výměny  $A$ , zvlášt' vysoká hodnota toku tepelné kapacity ( $\dot{m}_A c_{pA}$ ), tok tepelné kapacity jedné tekutiny je mnohem větší než u druhé] vždy účinek protiproudého výměníku vyšší. Z toho plyne

\*) Ke stejným výsledkům dojdeme z rovnic pro protiproud nebo souproud, dosadíme-li  $\zeta_{AB} = 0$ .

úspora chladicí nebo ohřívací tekutiny při protiproudou oproti souproutu.

Nejvýraznější rozdíl v účincích obou uspořádání proudů představuje snížení účinku až na 50 % u souproutu proti protiproudou, jestliže faktor výměníku  $\zeta_{AB} = 1$  a jestliže počet převodových jednotek  $N_A \rightarrow \infty$ . V tomto případě teplotní změna jedné tekutiny je rovna teplotní změně druhé tekutiny a  $k A >> \dot{m}_A c_{pA}$ .

Naopak při  $k A << \dot{m}_A c_{pA}$  (např. výměník s malou teplosměnnou plochou  $A$  nebo s velkým odporem proti prostupu tepla při velkém hmotnostním toku  $\dot{m}_A$ ) není prakticky rozdíl mezi souproudým a protiproudým uspořádáním. Totéž se týká případů, když tok tepelné kapacity jedné tekutiny převládá nad druhou, tj. bud  $\dot{m}_A c_{pA} >> \dot{m}_B c_{pB}$ , nebo  $\dot{m}_A c_{pA} << \dot{m}_B c_{pB}$ , tedy když  $\zeta_{AB} \rightarrow 0$ , nebo  $\zeta_{AB} \rightarrow \infty$ .

Obr. 17.12 také potvrzuje, že v případě fázové přeměny tekutiny A nebo B, kdy  $\zeta_{AB} \rightarrow 0$  nebo  $\zeta_{AB} \rightarrow \infty$ , nezávisí účinek výměníku na uspořádání proudů ( $\eta_{A(S)}/\eta_{A(P)} = 1$ ).

*Protiproudý výměník*, jak jsme ukázali, je výhodný z důvodu vyššího účinku. Z toho plyne nižší spotřeba tekutiny k chlazení či ohřívání. *Souproudému výměníku* však dáváme přednost v případě, když chceme rychle změnit teplotu (rychle ochladit či ohřát), neboť mezi vstupními proudy je mnohem větší teplotní diference než u protiproudou.

I když jsme kvantitativně neanalyzovali vlastnosti výměníku tepla s křížovým uspořádáním proudů tekutin A a B (viz obr. 17.1f), uvedeme jeho nejdůležitější vlastnosti. Účinnost tepelného výměníku s křížovým proudem je větší než při souproudu, ale menší než při protiproudou. Používá se obvykle tehdy, když je objemový tok jedné tekutiny značně větší, než objemový tok druhé tekutiny. To je běžné při zahřívání či chlazení plynu kapalinou (např. zahřívání vzdachu v sušárně nebo při vytápění místností tělesy ústředního topení). Tekutina, která má větší hodnotu objemového toku, proudí vně trubek, které jsou obvykle žebrované.

#### 17.4.5 Přímý výpočet plochy tepelné výměny

Popsaná metoda výpočtu parametrů výměníků tepla pomocí vztahů mezi bezrozměrovými veličinami  $N_A$ ,  $\eta_A$ ,  $\zeta_{AB}$  je značně univerzální. Přesto se však dosud pro svou jednoduchost také používá metoda *přímého výpočtu* teplosměnné plochy  $A$  nebo účinné délky trubek výměníku  $L$ . Přímá metoda je založena na rozměrovém vztahu, jehož odvození si nyní ukážeme.

Uvažujeme *protiproudý* výměník, a vyjdeme proto z rov.(17-21):

$$\ln \frac{\Delta t_2}{\Delta t_1} = \frac{k A}{\dot{m}_A c_{pA}} \left( \frac{\dot{m}_A c_{pA}}{\dot{m}_B c_{pB}} - 1 \right) \quad (17-21)$$

Z této rovnice eliminujeme toky tepelných kapacit ( $\dot{m}_A c_{pA}$ ) a ( $\dot{m}_B c_{pB}$ ) pomocí rov.(17-26) a (17-36), z nichž dostaneme

$$\frac{\dot{m}_A c_{pA}}{\dot{m}_B c_{pB}} = \frac{t_{B1} - t_{B2}}{t_{A1} - t_{A2}} \quad \frac{1}{\dot{m}_A c_{pA}} = \frac{t_{A1} - t_{A2}}{\dot{Q}}$$

Z rov.(17-21) pak plyne

$$\ln \frac{\Delta t_2}{\Delta t_1} = \frac{k A}{\dot{Q}} (\Delta t_2 - \Delta t_1)$$

Zavedeme logaritmický střed rozdílů teplot

$$\Delta t_{ls} \equiv \frac{\Delta t_2 - \Delta t_1}{\ln \frac{\Delta t_2}{\Delta t_1}} \quad (17-49)$$

a obdržíme jednoduchou rovnici

$$\dot{Q} = k \Delta t_{ls} A \quad [\text{DESKA}] \quad (17-50)$$

Z toho

$$A = \frac{\dot{Q}}{k \Delta t_{ls}} \quad [\text{DESKA}] \quad (17-50a)$$

Pro válcovou trubku bychom stejným postupem dostali

$$\dot{Q} = k_L \Delta t_{ls} L \quad [\text{VÁLEC}] \quad (17-51)$$

Pro délku  $L$  potom platí

$$L = \frac{\dot{Q}}{k_L \Delta t_{ls}} \quad [\text{VÁLEC}] \quad (17-51a)$$

Logaritmický střed rozdílů teplot  $\Delta t_{ls}$  je rovněž dán rov.(17-49).

Snadno ukážeme, že rov.(17-50) a (17-51) platí i pro souproud a pro případ, že jedna z tekutin podléhá fázové přeměně a že je její teplota podél výměníku konstantní.

V rozmezí

$$0,5 \leq \Delta t_2 / \Delta t_1 \leq 2$$

lze s relativní chybou 4% nahradit logaritmický střed  $\Delta t_{ls}$  středem aritmetickým  $\Delta t_{as}$ :

$$\Delta t_{ls} \doteq 0,5(\Delta t_1 + \Delta t_2) = \Delta t_{as} \quad (17-52)$$

Protože k výpočtu hodnot  $A$  nebo  $L$  potřebujeme napřed určit hodnotu  $\Delta t_{ls}$ , musíme znát dvě vstupní a dvě výstupní teploty. Chybí-li jedna z výstupních teplot, dopočítáme ji napřed z bilance toků entalpie, např. pro protiproud jde o rov.(17-26). Jsou-li neznámé dvě teploty, je nutno postupovat iteračně.

Výpočet vedoucí k určení rozměrů zařízení jako v případě stanovení hodnoty  $A$  nebo  $L$  se nazývá *konstrukční výpočet*, protože vypočtené údaje umožňují konstruovat zařízení splňující naše požadavky. Je-li však velikost zařízení dána, např. plochou  $A$  nebo délkou  $L$ , a předmětem výpočtu jsou provozní parametry takového zařízení, jde o *výpočet kontrolní*. Tento výpočet může být mj. uplatněn pro posouzení, zda dané zařízení může být použito při změně podmínek (např. jiné tekutiny, jiné průtoky, jiné vstupní teploty). Měníme-li vstupní údaje a zjišťujeme, jakou odezvu v daném zařízení vykazují údaje výstupní, mluvíme o *simulačním výpočtu*. Tento typ výpočtu se často používá k získání dat pro regulaci chodu daného zařízení.

## 17.5 Výpočet neustáleného prostupu tepla ve výměnících

S neustáleným sdílením tepla se setkáváme nejen v regeneračních, ale též v rekuperačních výměnících, na jejichž popis jsme se soustředili.

*Neustálený prostup tepla* nastává především u vsádkových zařízení, jako jsou reaktory, krystalizátory, zařízení na rozpouštění pevné fáze ap. Sem patří výměník typu duplikátoru s míchadlem (obr. 17.1a). Zde dochází ke sdílení tepla z páry kondenzující v prostoru pláště do kapaliny v nádobě. Mnohdy je topná soustava umístěna ve vlastní nádobě a cirkulace je samovolná, bez instalovaného míchadla. Teplotu kondenzující páry můžeme považovat za *konstantní*.

Náročnější pro matematicko-fyzikální popis je případ ohřevu nebo chlazení obsahu nádoby tekutinou bez fázové přeměny, u níž dochází ke změně teploty. Nyní ukážeme řešení obou případů.

### 17.5.1 Ohřev kapaliny v nádobě kondenzující párou

Uvažujeme typ výměníku podle obr. 17.1a. Do prostoru zdvojeného pláště přivádíme nasycenou (topnou) páru (tekutina A) podle obrázku a v nejnižší části pláště odvádíme kondenzát připojeným odlučovačem kondenzátu (viz obr. 17.2).

Předpokládáme pro jednoduchost, že teplota nasycené páry na vstupu do výměníku  $t_A$  je stejná jako teplota vystupujícího kondenzátu, tj. platí:

$$t_A = \text{konst} \quad (17-53)$$

V nádobě se nachází kapalina B, která se v průběhu času *ohřívá*, tj. zvyšuje svou teplotu  $t_B$ . Platí tedy

$$t_B = t_B(\tau) \quad (17-54)$$

Předpokládáme, že teplota  $t_B$  má v daný okamžik *celém prostoru nádoby stejnou hodnotu*. Předpokládáme tedy, že homogenizace je z hlediska rozložení teplot v kapalině B dokonalá (viz kap. 12 - míchání).

V praxi přichází opět v úvahu konstrukční nebo kontrolní výpočet. Při *konstrukčním výpočtu* hledáme velikost teplosměnné plochy  $A$ , která zajistí, že se vsádka ohřeje na stanovenou teplotu  $t_B$  za určitý čas  $\tau$ . Při *kontrolním výpočtu* je plocha  $A$  dána a hledáme dobu  $\tau$ , za kterou se ohřeje vsádka na zvolenou teplotu  $t_B$ , nebo hledáme teplotu  $t_B$  pro zadaný čas  $\tau$ , nebo teplotu topné páry  $t_A$ , která je nutná pro dosažení určité teploty  $t_B$  v určitém čase  $\tau$ . Ve všech případech bude žádoucí znát celkovou spotřebu páry  $\dot{m}_A$  pro ohřev vsádky o hmotnosti  $m_B$ .

Vzhledem k neustálenosti procesu zapíšeme *entalpickou bilanci* pro diferenciální časový interval  $d\tau$ , tj.  $dQ = dH_B$ . Tepelný tok  $\dot{Q}$  z kondenzující páry do kapaliny B (o hmotnosti  $m_B$ ) za diferenciální časový interval  $d\tau$  zvýší teplotu kapaliny o  $dt_B$  a po rozepsání entalpie dostáváme:

$$dQ \equiv \dot{Q} d\tau = m_B c_{pB} dt_B \quad (17-55)$$

Současně v čase  $\tau$  platí *kinetická rovnice*:

$$\dot{Q} \equiv \frac{dQ}{d\tau} = k (t_A - t_B) A \quad (17-56)$$

Pro další postup předpokládáme, že koeficient prostupu tepla  $k$  je konstantní (nezávislý na teplotě  $t_B$ ) a že teplosměnná plocha  $A$  je rovněž konstantní.

Spojením rov.(17-55) a (17-56) dostaneme po úpravě

$$\frac{dt_B}{t_A - t_B} = \frac{k A d\tau}{m_B c_{pB}} \quad (17-57)$$

Obvykle se nedopustíme větší chyby, když do rov.(17-57) dosadíme *měrnou tepelnou kapacitu*  $c_{pB}$  při *aritmetické střední teplotě tekutiny B* na počátku ohřevu ( $t_{B0}$ ) a v čase  $\tau(t_B)$ . Potom považujeme  $c_{pB}$  rovněž za konstantu. Bezrozměrovou rov.(17-57) potom můžeme upravit takto: Nejprve zavedeme analogicky k rov.(17-22a) nebo (17-22b) počet převodových jednotek pro neustálený ohřev kapaliny B:

$$N_B = \frac{k A \tau}{m_B c_{pB}} \quad (17-58)$$